

# ЛОКАЛЬНАЯ СТРУКТУРА И ЗАТВЕРДЕВАНИЕ СТЕКЛООБРАЗУЮЩЕГО РАСПЛАВА $\text{Al}_{86}\text{Ni}_6\text{Co}_4\text{Gd}_2\text{Tb}_2$ ПОД ВЫСОКИМ ДАВЛЕНИЕМ: ЭКСПЕРИМЕНТ, МОДЕЛИРОВАНИЕ, МАШИННОЕ ОБУЧЕНИЕ

*С. Г. Меньшикова<sup>a\*</sup>, Н. М. Щелкачев<sup>b\*\*</sup>*

<sup>a</sup> Удмуртский федеральный исследовательский центр  
Уральского отделения Российской академии наук  
426067, Ижевск, Россия

<sup>b</sup> Институт физики высоких давлений имени Л. Ф. Верещагина  
Российской академии наук  
142190, Москва, Троицк, Россия

Поступила в редакцию 27 октября 2023 г.,  
после переработки 9 января 2024 г.  
Принята к публикации 9 января 2024 г.

Высокое давление влияет на затвердевание расплава  $\text{Al}_{86}\text{Ni}_6\text{Co}_4\text{Gd}_2\text{Tb}_2$  и его стеклообразующую способность. С помощью молекулярно-динамических расчетов *ab initio* показано, как локальная структура расплава изменяется с увеличением давления. Высокое давление способствует формированию икосаэдрических кластеров в расплаве. Формированию икосаэдров способствуют редкоземельные элементы: гадолиний, тербий. При давлении 10 ГПа и температуре расплава 1800 К атомы икосаэдров образуют «переколяционный кластер». При уменьшении давления концентрация икосаэдров уменьшается, при атмосферном давлении икосаэдры практически отсутствуют. Таким образом, стеклообразующая способность расплава увеличивается при повышении давления. С использованием техники глубокого машинного обучения выполнена оценка зависимости температуры стеклования  $T_g$  от высокого давления: увеличение давления от 0 до 10 ГПа повышает  $T_g$  в 1.3 раза. Исследована структура твердых образцов сплава, полученных путем охлаждения его расплава с температурой 1800 К со скоростью 1000 град/с под давлением 10 ГПа. Методами рентгеноструктурного анализа и электронной микроскопии показано, образцы плотные и однородные, структура мелкодисперсная. В сплаве синтезированы новые кристаллические фазы с кубической ( $cP4/2$ ) и тетрагональной ( $tI26/1$ ) структурами, стабильные длительное время в нормальных условиях. В формировании фазы с кубической структурой ( $cP4/2$ ) основную роль выполняют редкоземельные элементы. Исследования показали, средняя твердость образцов, полученных при 10 ГПа, почти в 2 раза выше, чем исходного образца, полученного при атмосферном давлении, и составляет порядка 2 ГПа.

**DOI:** 10.31857/S0044451024050055

## 1. ВВЕДЕНИЕ

Прогресс в понимании процессов, протекающих в высокотемпературных стеклообразующих расплавах типа Al-ПМ-РЗМ (ПМ — переходный металл, РЗМ — редкоземельный металл) с содержанием алюминия 80–90 ат. % в широком температурном

диапазоне [1, 2], а также в изучении влияния высоких давлений и скоростей охлаждения на их затвердевание [3] имеет высокую научную значимость. При скоростях охлаждения 100000 град/с сплавы стеклются с образованием лент толщиной порядка 50–60 мкм. Представляет интерес повышение стеклообразующей способности расплавов системы этого типа. Есть основание полагать, что экстремальные воздействия (ЭВ) (высокие давления, температуры и скорости охлаждения) способны помочь в решении данного вопроса. Отработка методик получения сплавов в подобных экстремальных усло-

\* E-mail: svetlmensh@udman.ru

\*\* E-mail: n.chtchelkatchev@gmail.com

виях является сложной технологической задачей. В условиях высоких давлений и температур при высокоскоростном затвердевании расплава отмечаются физические и химические процессы, протекание которых в обычных условиях затруднительно, в ряде случаев невозможно из-за термодинамических ограничений. ЭВ влияют как на кинетику, так и на термодинамику затвердевания расплава. В частности, высокое давление увеличивает вязкость металлического расплава, а также модифицирует структуру ближнего порядка в сторону более плотных упаковок, в том числе некристаллических. Помимо общей тенденции к измельчению зерен, ЭВ способствуют кристаллизации новых метастабильных фаз, обычно более плотных. В результате могут быть получены материалы с уникальными структурами и свойствами [3–8].

Быстрое развитие компьютерных технологий делает возможным проведение теоретических исследований реалистичных систем с использованием различных методов, в частности, в рамках подхода *ab initio* (AIMD) [9]<sup>1)</sup>. В последнее время в изучении физики конденсированных сред все большее распространение получают методы расчетов *ab initio*, основанные на теории функционала плотности (DFT)<sup>2)</sup>, что представляет высокий интерес и для изучения сплавов вышеуказанной системы [10].

Большой интерес представляет также использование искусственных нейронных сетей (ИНС) (глубокое машинное обучение) [11, 12] в квантовой механике, в коррелированных системах, в системах с фазовыми переходами. «Глубокое» обозначает степень сложности (глубины) нейросети, которая зачастую может быть весьма поверхностной. Обучение нейронной сети — это процесс, в котором параметры нейронной сети настраиваются посредством моделирования среды, в которую эта сеть встроена. Тип обучения определяется способом подстройки параметров. Основной недостаток ИНС заключается в необходимости получения большого экспериментального материала для обучения сети, а также низкая прогностическая способность. Достины: возможность получать высокую точность расчета, а также, когда нет физических моделей структурной или иной зависимости — простота обучения и использования при наличии необходимого экспериментального материала и программного обеспечения.

<sup>1)</sup> Метод расчета из первых основополагающих принципов, описывающий атомные взаимодействия с учетом квантовых эффектов.

<sup>2)</sup> Метод расчета электронной структуры систем многих частиц в квантовой физике и квантовой химии.

чения [13]. С помощью ИНС представляется возможным построение моделей расчета предела текучести и деформационного упрочнения промышленных алюминиевых сплавов по параметрам структуры [13], предсказание поведения ближнего упорядочения в бинарных и многокомпонентных сплавах на основе алюминия, в зависимости от концентрации и температуры [14]. Недавно было обнаружено, что зарождение кристаллов в переохлажденном расплаве достигает максимальной скорости при температуре стеклования и сильно замедляется при глубоком охлаждении в стеклообразном состоянии [15].

Ранее мы провели экспериментальные и теоретические исследования затвердевания четырехкомпонентного стеклообразующего расплава  $\text{Al}_{86}\text{Ni}_2\text{Co}_6\text{Gd}_6$  под высоким давлением [16]. Обнаружили новые метастабильные фазы, формирующиеся в сплаве после термобарического воздействия на расплав при затвердевании. Показали, что стеклообразующая способность расплава увеличивается с ростом высокого давления. Подобные исследования в литературе практически отсутствуют. Цель настоящей работы — исследование локальной структуры расплава при малом и высоком давлениях в более сложном стеклообразующем сплаве  $\text{Al}_{86}\text{Ni}_6\text{Co}_4\text{Gd}_2\text{Tb}_2$ ; исследование влияния высокого давления на затвердевание расплава и его стеклообразующую способность.

## 2. МАТЕРИАЛЫ И МЕТОДЫ ИССЛЕДОВАНИЯ

### 2.1. Эксперимент

Слиток заданного состава получали методом сплавления чистых металлов в корундовых тиглях в печи Таммана. В качестве исходных компонент использовали элементы с содержанием основного металла: алюминий 99.999, никель 99.9, кобальт 99.9, гадолиний 99.9, тербий 99.9 (масс.-%). Химический анализ слитка показал, содержание основных элементов соответствовало заданному составу в пределах  $\pm 0.2\%$  от номинального. Полученный образец рассматривали в качестве исходного. Образцы для исследований под высоким давлением 10 ГПа получали в камере типа «тороид» [17]. Нагрев и плавление образца проводили пропусканием через него переменного тока. В качестве среды, передающей давление, использовали алгетский камень. Схема эксперимента: установление давления  $\rightarrow$  импульсный нагрев  $\rightarrow$  выдержка при установленных давлении и температуре  $\rightarrow$  охлаждение без сбро-

са давления до комнатной температуры → уменьшение высокого давления до атмосферного. Скорость охлаждения расплавов 1000 град/с, температура расплава перед закалкой 1800 К. Методом рентгеноструктурного анализа определяли фазовый состав образцов. Для исследования элементного состава, морфологии и размера структурных составляющих сплава использовали методы электронной микроскопии. Измерения твердости  $H_V$  выполняли на твердомере ПМТ-3М. Нагрузка, применяемая к индентору  $\sim 50$  г, время нагружения  $\sim 10$  с. Значения  $H_V$  усредняли по 20 измерениям.

## 2.2. Моделирование

Структурные исследования расплава выполняли методом функционала плотности на основе VASP (The Vienna Ab initio Simulation Package). Рассматривали элементарные ячейки из 512 атомов с периодическими граничными условиями, в Гамма-точке. Энергия отсечки базиса плоских волн 500 эВ. Ввиду малых концентраций Ni, Co, Gd и Tb моделирование производили с использованием 10 независимых реплик расплавов с разным начальным случайным расположением атомов. Случайные начальные конфигурации создавали на основе потенциала взаимодействия твердых сфер между атомами и классического (LAMMPS) молекулярно-динамического моделирования. Наиболее неупорядоченные конфигурации отбирали алгоритмом УСПЕХ. Равновесная конфигурация достигалась VASP моделированием системы в NPT ансамбле в течение не менее 10 пс с шагом 1 фс. Далее системы моделировали VASP в NVT ансамбле в термостате Nose-Hoover при высоких температурах и давлениях. Для исследования расплава при глубоком переохлаждении построили потенциал взаимодействия машинного обучения (MLIP) с использованием квантовых данных молекулярной динамики в качестве обучающего набора данных. Использовали пакет DEEPM<sup>3)</sup> в качестве ядра для сборки MLIP. Выбрали дескрипторы «se\_a» с отсечкой 7 Å для обработки данных обучения. Начальную тренировочную базу данных для машинного обучения MLIP получали случайной выборкой 20% данных квантовой молекулярной динамики, остальные 80% данных использовали в проверочном датасете. Многоэтапное дообучение

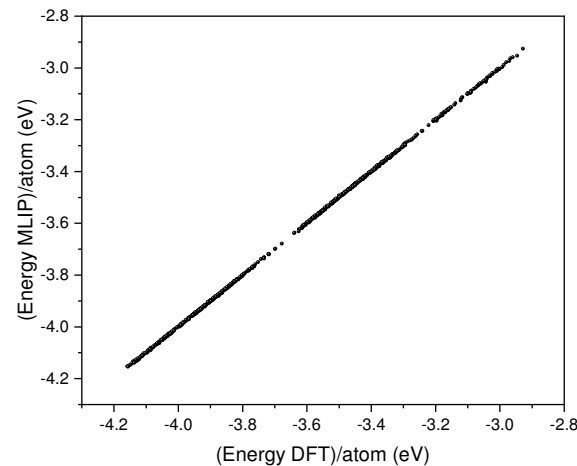


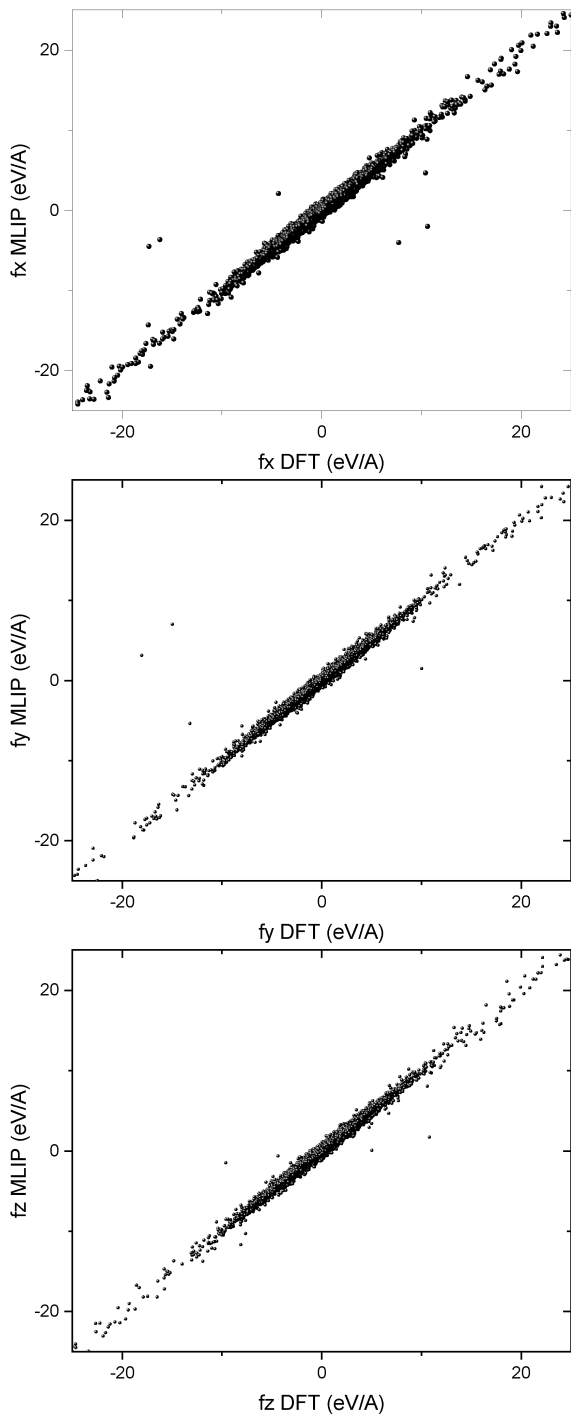
Рис. 1. Сравнение энергии, рассчитанной MLIP и DFT

чение потенциала MLIP проводили с помощью пакета DPGEN (Deep Potential GENerator), который на каждом этапе оценивает точность классической молекулярной динамики путем вычисления дисперсии межатомных сил по ансамблю четырех реплик MLIP и отправляет на расчет DFT VASP наименее точные конфигурации с последующим добавлением их в тренировочную базу данных. Процесс сходится, когда дисперсия межатомных сил становится меньше заданного порога для 90% конфигураций, которые генерирует DPGEN. Так как часть атомов в сплаве имеют очень маленькую концентрацию, возникла необходимость добавить в тренировочную базу данных небольшое количество высокоэнтропийных конфигураций, где концентрации всех элементов одного порядка. Это необходимо для стабилизации сходимости процедуры обучения MLIP в случае легированных сплавов, где легирующие элементы, в силу малой концентрации, редко сближаются. В результате точность MLIP, по сравнению с первоначальным расчетом, составила

Energy MAE/Natoms	$1.808373 \cdot 10^{-3}$ эВ,
Energy RMSE/Natoms	$1.103514 \cdot 10^{-1}$ эВ,
Force MAE	$2.263140 \cdot 10^{-3}$ эВ/А,
Force RMSE	$1.570985e-01$ эВ/А,
Virial MAE/Natoms	$9.203836 \cdot 10^{-3}$ эВ,
Virial RMSE/Natoms	$1.190558 \cdot 10^{-23}$ эВ.

Здесь MAE обозначает среднюю абсолютную ошибку (Mean Absolute Error), а RMSE — среднеквадратичную ошибку (Root Mean Square Error) по сравнению с DFT. Отклонение MLIP расчетов от DFT графически показано на рис. 1 и рис. 2. Классическая молекулярная динамика (CMD) с MLIP имеет точность, сравнимую с квантовой молекулярной динамикой. Наиболее

<sup>3)</sup> DEEPM пред назначен для минимизации усилий, необходимых для построения основанной на глубоком машинном обучении модели межатомной потенциальной энергии и силового поля, а также для выполнения классических вычислений молекулярной динамики (CMD).



**Рис. 2.** Сравнение сил, вычисленных с помощью MLIP и DFT

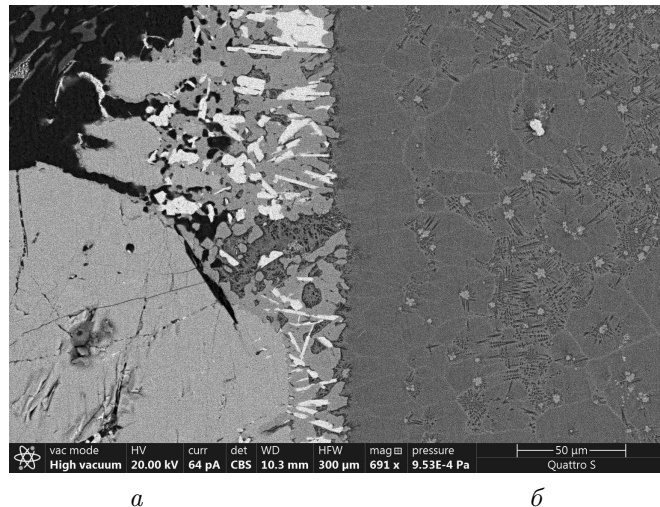
важным является то, что CMD может иметь дело с достаточно большим количеством частиц и распространять их в течение 10 мкс периодов времени, а не 1–10 нс. Мы выбрали LAMMPS для CMD. Для CMD-моделирования расплава выбирали ячейку с 13824 атомами в периодических граничных

условиях и шагом по времени 2 фс. Сплав смоделировали при охлаждении с помощью термостата Nose-Hoover NPT от температуры 2000 до 100 К для 10 миллионов шагов MD.

### 3. РЕЗУЛЬТАТЫ И ОБСУЖДЕНИЕ

#### 3.1. Эксперимент

Ранее исследовали образцы сплава  $\text{Al}_{86}\text{Ni}_2\text{Co}_6\text{Gd}_6$ , полученные в зависимости от высокого давления (до 10 ГПа) и температуры закалки расплава (до 1800 К) [18]. Было показано, при давлениях 7–10 ГПа в сплаве формируются новые метастабильные фазы: фаза  $(\text{Al}_3\text{Gd})^*$  (по типу  $\text{Al}_3\text{U}$ ), со структурой примитивного куба ( $cP4/2$ ) и фаза  $(\text{Al}_8(\text{Co}/\text{Ni})_4(\text{Gd}))^*$  (по типу  $\text{Al}_8\text{Cr}_4\text{Gd}$ ) с тетрагональной структурой ( $tI26/1$ ). Исследования, выполненные в настоящей работе, показали, что и в сплаве  $\text{Al}_{86}\text{Ni}_6\text{Co}_4\text{Gd}_2\text{Tb}_2$ , при тех же условиях получения, формируются такие же по составу фазы (см. таблицу), однако морфология структуры другая. Редкоземельные металлы, в нашем случае, Gd и Tb, проявляют между собой большое сходство химических и физических свойств, что объясняется почти одинаковым строением наружных электронных уровней их атомов, имеют примерно равные радиусы атомов и легко взаимозаменяются в исследуемом сплаве. Таким образом, формирование тех же фаз в сплаве  $\text{Al}_{86}\text{Ni}_6\text{Co}_4\text{Gd}_2\text{Tb}_2$ , что и в сплаве  $\text{Al}_{86}\text{Ni}_2\text{Co}_6\text{Gd}_6$  вполне оправдано. На рис. 3 а представлена микроструктура образца сплава  $\text{Al}_{86}\text{Ni}_6\text{Co}_4\text{Gd}_2\text{Tb}_2$ , полученного в печи Таммана методом сплавления чистых компонентов при атмосферном давлении и образца, полученного под давлением 10 ГПа (рис. 3 б). Температура закалки в обоих случаях 1800 К. На рис. 3 видно, что структура образца, полученного под давлением 10 ГПа более дисперсная, по сравнению с образцом, полученным при нормальному атмосферному давлению. Исследования показали также, что образец, полученный под высоким давлением, однородный, плотный, без усадочных раковин и пор; средняя микротвердость почти в два раза выше, чем в исходном образце, и составляет порядка 2 ГПа. Обнаруженные новые фазы формируются в сплавах при высоких давлениях 7–10 ГПа. При давлениях менее 7 ГПа в сплаве присутствуют только равновесные фазы.



**Рис. 3.** Микроструктура образцов сплава  $\text{Al}_{86}\text{Ni}_6\text{Co}_4\text{Gd}_2\text{Tb}_2$ , полученного в печи Таммана методом сплавления чистых компонентов при атмосферном давлении (а) и полученного под давлением 10 ГПа (б) (1800 К, 1000 град/с)

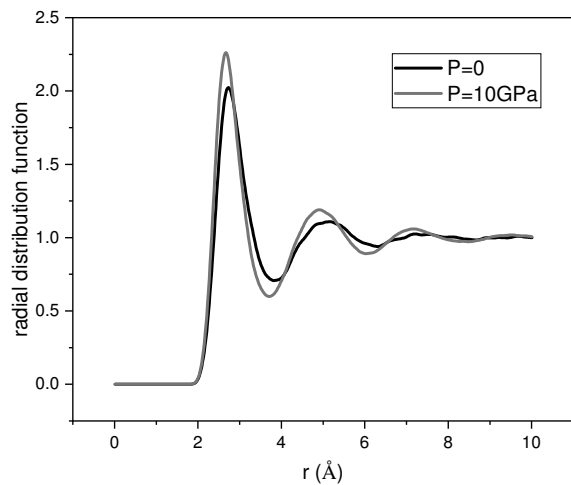
**Таблица.** Условия получения и фазовый состав образцов сплава  $\text{Al}_{86}\text{Ni}_6\text{Co}_4\text{Gd}_2\text{Tb}_2$

№	Условия получения	Фазовый состав
1	атм. давление (1800 К)	$\alpha$ -Al; $\text{Al}_3\text{Gd}$ (гекс., $hP8/3$ ); $\text{Al}_{19}\text{Ni}_5(\text{Tb}/\text{Gd})_3$ (орт., $oC108/4$ )
2	10 ГПа (1800 К)	$\alpha$ -Al, $\text{Al}_3(\text{Gd}/\text{Tb})^*(\text{Ni}/\text{Co})$ (по типу $\text{Al}_3\text{Er}$ ) (куб., $cP4/2$ ), $\text{Al}_8(\text{Co}/\text{Ni})_4(\text{Gd}/\text{Tb})^{**}$ (по типу $\text{Al}_8\text{Cr}_4\text{Gd}$ ) (тетр., $tI26/1$ )

### 3.2. Моделирование

В результате моделирования расплавов при 1800 К и давлениях 0 и 10 ГПа получены и исследованы радиальные функции распределения атомов (ФР-РА). На рис. 4 представлены полные ФРРА. При повышении давления до 10 ГПа отмечено увеличение пиков и их смещение, что свидетельствует об увеличении степени локального упорядочения в расплаве при высоком давлении. Анализ парциальных ФР-РА расплава при 0 и 10 ГПа (1800 К) для алюминия, кобальта, никеля, гадолиния и тербия показал, что высокое давление влияет, в основном, на локальное окружение алюминия, гадолиния и тербия в расплаве. Аналогичная ситуация отмечена нами ранее для сплава  $\text{Al}_{86}\text{Ni}_2\text{Co}_6\text{Gd}_6$  [16], где высокое давление оказывает влияние, в первую очередь, на локальное окружение алюминия и гадолиния в расплаве.

Для анализа ближнего порядка в расположении атомов использовали метод, известный как «polyhedral template matching» [19]. Исходя из ФР-РА, максимальная длина связи выбрана равной 3 Å. В качестве параметра, управляющего определени-



**Рис. 4.** Полная ФРРА расплава  $\text{Al}_{86}\text{Ni}_6\text{Co}_4\text{Gd}_2\text{Tb}_2$  (1800 К)

ем локальной симметрии, выбран RMSD (Root Mean Square Deviation)<sup>4)</sup>, равный 1.1. Анализ молекулярной динамики траекторий показал, при нулевом давлении в расплаве  $\text{Al}_{86}\text{Ni}_6\text{Co}_4\text{Gd}_2\text{Tb}_2$  в неболь-

<sup>4)</sup> Мера среднего расстояния между атомами.

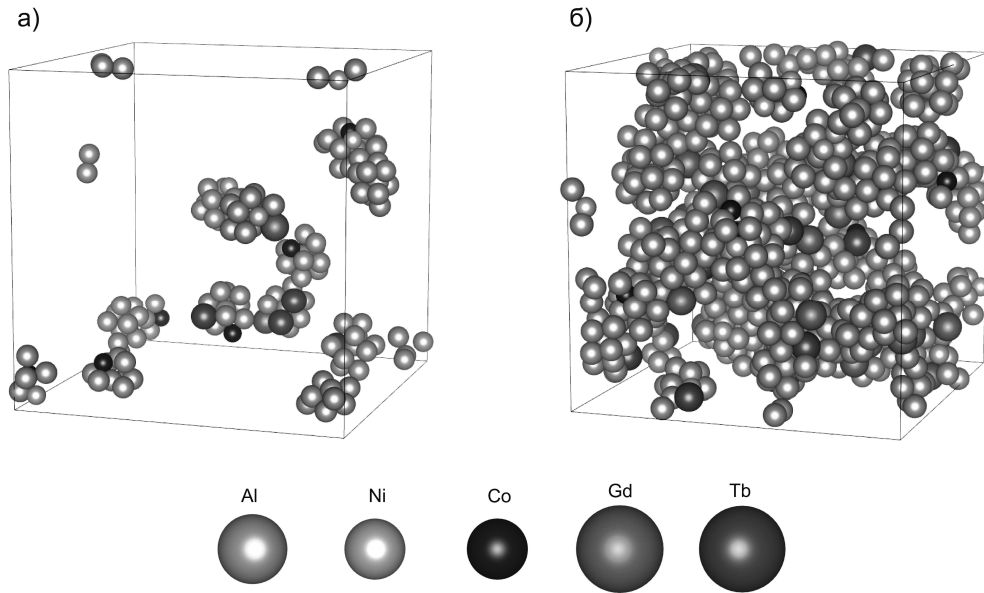


Рис. 5. Икосаэдрические кластеры в расплаве  $\text{Al}_{86}\text{Ni}_6\text{Co}_4\text{Gd}_2\text{Tb}_2$  при 0 (а) и 10 (б) ГПа (1800 К)

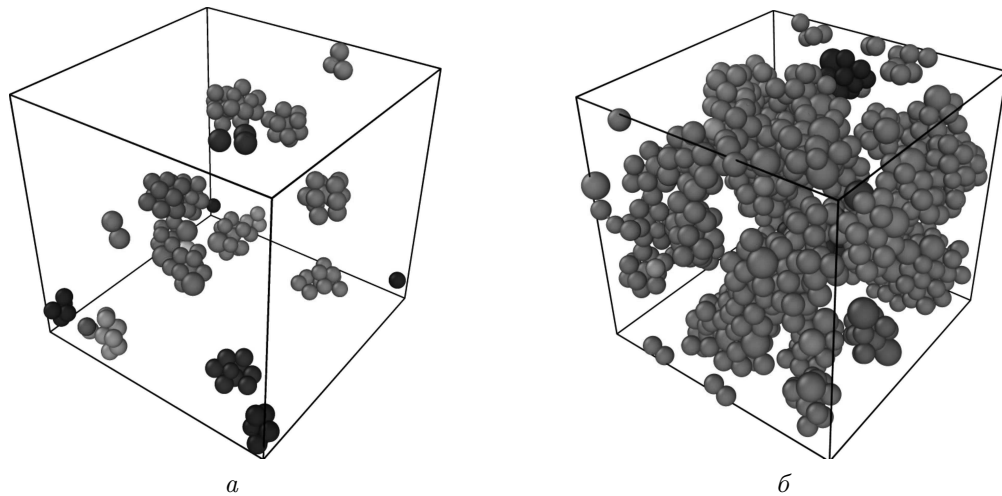


Рис. 6. Разбиение икосаэдрической материи на кластеры в расплаве  $\text{Al}_{86}\text{Ni}_6\text{Co}_4\text{Gd}_2\text{Tb}_2$  при 0 (а) и 10 (б) (1800 К)

шой концентрации (0.5%) присутствуют икосаэдрические кластеры (рис.5 а). При повышении давления до 10 ГПа их концентрация увеличивается не менее чем до 4% (рис.5 б). В этом расчете концентрации икосаэдров учитывались только атомы, имеющие ближайшее окружение икосаэдра, т.е. в центре икосаэдра. Разбиение икосаэдрической материи на кластеры в расплаве показано также на рис.6 а, б. Одним цветом объединены атомы, принадлежащие одному кластеру. Зеленым цветом показана «сеть» икосаэдров — «переколяционный кластер»<sup>5)</sup>. То есть

при 10 ГПа атомы образуют «переколяционный кластер», а при атмосферном давлении нет. Для обоих давлений расчеты выполнены при 1800 К. Если при нулевом давлении охладить системы на 200 К, от 1800 до 1600 К, после снижения давления от 10 до 0 ГПа концентрация икосаэдров уменьшается. Сеть икосаэдров в металлической жидкости обычно является признаком ее стеклообразующей способности. Таким образом, можно полагать, что с увеличением давления увеличивается и стеклообразующая способность расплава.

<sup>5)</sup> Кластер, в котором есть путь от верхней до нижней границы рассматриваемой области.

Рисунок 7 а демонстрирует процент количества атомов в центре икосаэдов к общему количеству

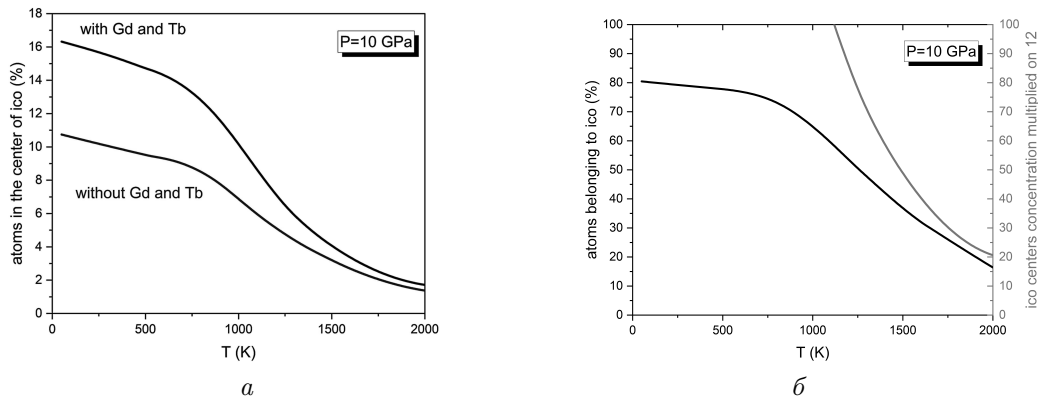


Рис. 7. Количество атомов в центре икосаэдров (а) и принадлежащих икосаэдрам (б), к общему числу атомов (%)

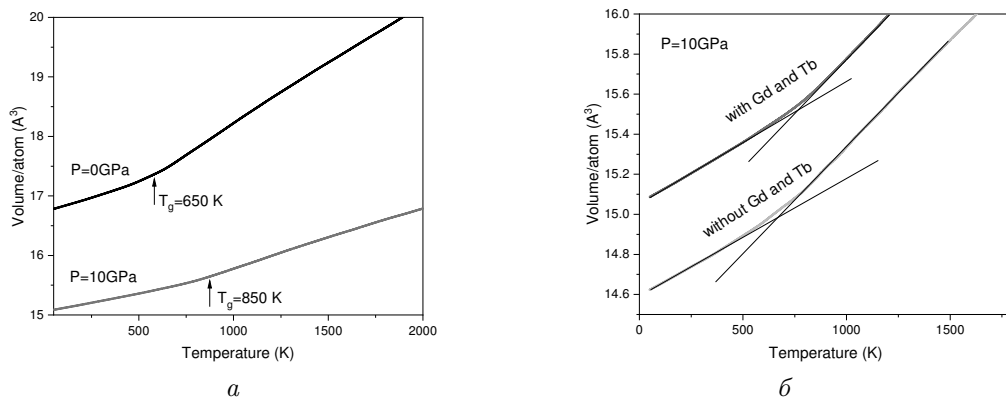
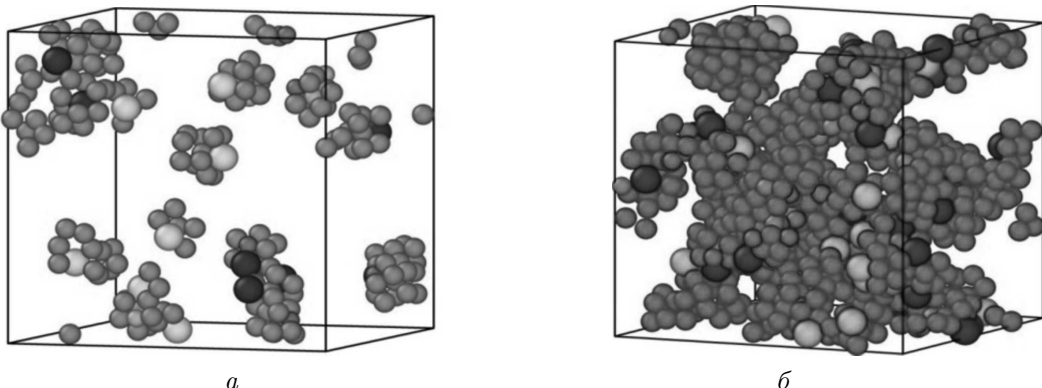


Рис. 8. Температурная зависимость объема сплава  $\text{Al}_{86}\text{Ni}_6\text{Co}_4\text{Gd}_2\text{Tb}_2$ , приходящегося на один атом, при давлениях 0 и 10 ГПа (а), та же зависимость при 10 ГПа в отсутствие Gd и Tb (б)

атомов при давлении 10 ГПа в температурном диапазоне от 2000 до 0 К. Рассмотрены два случая: с присутствием в расплаве РЗМ (черная кривая) и без РЗМ (синяя кривая). На рис.7 а видно, что при высоких температурах этот процент практически одинаков для обеих кривых, при уменьшении температуры отмечается существенное различие. На рис.7 б представлено процентное изменение с температурой количества атомов, принадлежащих икосаэдрам. Дальнейшие теоретические исследования показали, сплав без РЗМ аморфизуется, но пленочно, а с присутствием РЗМ-объемно. В ряде работ, в частности в [20, 21], показано, что и некоторые однокомпонентные экстремально охлажденные металлические расплавы характеризуются наличием икосаэдрического ближнего порядка. Обычно икосаэдрические кластеры в таких расплавах, например, в расплаве алюминия, при высоких температурах отсутствуют или их количество незначительно отличается от нуля [15].

Известно, что, как и при фазовых переходах второго рода, при стеклообразовании происходит резкое изменение теплоемкости и коэффициента термического расширения [22–24]. В этом случае наблюдается излом на температурной зависимости объема. Мы выполнили оценку зависимости температуры стеклования от давления на основе температурной зависимости объема, приходящегося на один атом. С помощью атомистического компьютерного моделирования охлаждения расплава из 5000 атомов, при использовании MLIP определена температура стеклования ( $T_g$ ): порядка 650 К при нормальном давлении и 850 К при давлении 10 ГПа для сплава  $\text{Al}_{86}\text{Ni}_6\text{Co}_4\text{Gd}_2\text{Tb}_2$  (рис.8 а). Для сплава  $\text{Al}_{86}\text{Ni}_2\text{Co}_6\text{Gd}_6$ : порядка 600 К при нормальном давлении и порядка 820 К при давлении 10 ГПа [16]. Полученные значения температур стеклования составляют 0.5 от их температуры плавления, что хорошо согласуется с литературными данными для аналогичных металлических систем [25]. Мы оценили, на сколько меняется  $T_g$  сплава  $\text{Al}_{86}\text{Ni}_6\text{Co}_4\text{Gd}_2\text{Tb}_2$ , если



**Рис. 9.** Икосаэдры в объеме переохлажденного расплава с температурой 500 К, ниже  $T_g$ . Атомы алюминия выделены красным, атомы никеля — синим, атомы кобальта — желтым (а) и коричневым (б), атомы гадолиния — светло-зеленым, атомы тербия — темно-зеленым

из сплава убрать РЗМ. Удаление Tb и Gd приводит к уменьшению  $T_g$  примерно на 65 К (рис.8 б).

Таким образом, внешние условия и состояние расплава влияют на его затвердевание. Это необходимо учитывать при разработке технологических процессов получения материалов с заданными свойствами. Известно, что кристаллизация расплава происходит за счет образования кристаллических зародышей, перерастающих в кристаллы. Самопроизвольно возникающие центры кристаллизации (зародыши) приводят к уменьшению объемной свободной энергии и увеличению межфазной энергии за счет границы раздела. Для образования зародышей кристаллов в жидкости необходимы определенные условия, в частности, необходимо появление микрообъемов, где взаимное расположение атомов соответствовало бы кристаллической решетке формирующегося твердого сплава. В исследуемом расплаве при атмосферном давлении и температуре 1800 К обнаружено небольшое количество икосаэдрических кластеров, концентрация которых увеличивается с ростом давления. В икосаэдрических кластерах важно знать, как расположены атомы в пространстве. Икосаэдрические кластеры под воздействием внешних условий (температуры, давления и т. д.) могут перестраиваться и изменяться с целью увеличения плотности и занимаемого объема, поскольку это выгодно энергетически [26]. Здесь важное влияние оказывает и относительный размер атомов, который в случае металлов (наш случай) играет роль длины связи. Чем больше разница в размерах атомов, содержащихся в сплаве, тем больше соседей можно разместить вокруг атома. Соответственно, чем больше один из атомов, по сравнению со вторым, тем больше у него будет соседей, и, со-

ответственно, тем меньше соседей будет у атома с меньшим радиусом. Радиусы атомов: алюминия 143, никеля 124, кобальта 125, гадолиния 179 и тербия 180 пм. Радиусы атомов Gd и Tb имеют наибольшее значение, и вокруг каждого из них должно быть более 12 атомов. В действительности, как показывает наше исследование, гадолиний и тербий не занимают позиции в центре икосаэдров, а являются лишь своего рода катализаторами образования икосаэдров. На рис. 9 показаны икосаэдры в переохлажденном расплаве с температурой 500 К, ниже  $T_g$ , для давлений 0 и 10 ГПа. Выбраны не все икосаэдры, а только почти совершенные, т. е. практически «идеальные», с минимальными деформациями. Как видно из рис. 9, икосаэдрические кластеры, в основном, включают атомы алюминия и гадолиния или алюминия и тербия, а также небольшое количество атомов никеля и кобальта. Как показывают наши расчеты, высокое давление оказывает влияние, в первую очередь, на локальное окружение Gd, Tb и Al в расплаве. Это термодинамически выгодно для образования первичных кристаллов новой метастабильной фазы  $\text{Al}_3(\text{Gd/Tb})$ , обнаруженной нами в твердом образце. Далее в условиях сжатия формируются аномально пересыщенный твердый раствор  $\text{Al}(\text{Gd/Tb})$  и новая фаза  $\text{Al}_8(\text{Co/Ni})_4(\text{Gd/Tb})$ . Эти метастабильные фазы, полученные под высоким давлением, достаточно стабильны длительное время в нормальных условиях.

Выполненный в настоящей работе, а также других работах [16, 18] реальный эксперимент показал, что многокомпонентные расплавы Al-ПМ-РЗМ затвердевают в ряд нетривиальных фаз, имеющих разные кристаллические решетки. Если система затвердевает при высоком давлении, то синтезируют-

ся также метастабильные фазы. Численное атомистическое моделирование на сегодняшний день с большим трудом может достоверно описать затвердевание сложной системы из 4 или 5 элементов в несколько существующих нетривиальных твердых фаз. Но можно достаточно эффективно моделировать расплав с первопринципной точностью. Выполненное нами численное моделирование расплавов Al-ПМ-РЗМ позволило понять, в чем заключается роль примесей, из-за которых при затвердевании формируются метастабильные фазы. Показано, легирующие примеси РЗМ являются катализаторами формирования икосаэдров в расплаве. Один атом примеси локально упорядочивает 12 атомов. Концентрация икосаэдров в расплаве выше при высоком давлении. Таким образом, примеси РЗМ повышают стеклообразующую способность системы. Довольно давно известно, сплавы исследуемой системы стеклются при быстром охлаждении расплава (со скоростью 1000000 град/с) в форме тонких лент, толщиной порядка 50 мкм. Мы впервые это микроскопически объяснили, исследуя расплав, в том числе в условиях переохлаждения. При медленном охлаждении система не стеклются, а формирует несколько существующих твердых фаз с разными кристаллическими решетками. Вероятно, в этом эффекте тоже косвенно оказывается высокая стеклообразующая способность сплавов, так как образуется сравнительно много совершенно непохожих друг на друга фаз. Возникновение такой многофазной неупорядоченной поликристаллической системы-результат высокой стеклообразующей способности и фрустрации, из-за наличия большого количества икосаэдров в расплаве. Известно, что стеклообразующая способность фаз-стеклообразователей (аморфизаторов) обусловлена их химической природой, наличием икосаэдрической координации. Как правило, они имеют сложную кристаллическую решетку. Возникающая в исследованном сплаве новая первичная фаза  $\text{Al}_3(\text{Gd/Tb})$  может рассматриваться как аморфизатор сплава. Известно, что дополнительным воздействием высокими давлениями на расплав при быстрой закалке можно получить максимально «уплотненные»—«идеальные» стекла. Нами показано наличие «переколяционного кластера» при высоком давлении в исследуемом металлическом расплаве, что обычно является признаком стеклообразующей способности расплавов. Однако в рассматриваемом сплаве при выбранных условиях получения, мы не обнаружили аморфной составляющей. По-видимому, для аморфизации исследуемого рас-

плава необходимы гораздо более высокие давления при той же (рассматриваемой) экспериментальной скорости охлаждения.

#### 4. ВЫВОДЫ

1. Эксперимент показал, при затвердевании расплава  $\text{Al}_{86}\text{Ni}_6\text{Co}_4\text{Gd}_2\text{Tb}_2$  с температурой 1800 К под давлением 7–10 ГПа при скорости охлаждения 1000 град/с в сплаве формируются новые кристаллические метастабильные фазы: высокосимметричная фаза  $\text{Al}_3(\text{Gd/Tb})$  с примитивной кубической решеткой ( $cP4/2$ ), упорядочена по типу  $\text{Al}_3\text{U}$ , содержит Co и Ni и фаза  $\text{Al}_8\text{Co}_4(\text{Gd/Tb})$  (типа  $\text{Al}_8\text{Cr}_4\text{Gd}$ ) с тетрагональной структурой ( $tI26/1$ ). Твердый раствор  $\alpha\text{-Al}$  аномально пересыщен гадолинием и тербием. Структура образца мелкокристаллическая с высокой плотностью. Средняя микротвердость высокая за счет твердорасторвного и дисперсионного упрочнения. При давлениях менее 7 ГПа в сплаве формируются только равновесные фазы.

2. С помощью численного моделирования определена роль примесей в сплаве, из-за которых формируются метастабильные фазы. Легирующие примеси РЗМ являются катализаторами формирования икосаэдрических кластеров в расплаве. При увеличении давления от 0 до 10 ГПа их количество увеличивается в 8 раз, формируя «сеть»—«переколяционный кластер», повышая стеклообразующую способность расплава. С использованием техники глубокого машинного обучения выполнена оценка зависимости температуры стеклования  $T_g$  от высокого давления: увеличение давления от 0 до 10 ГПа повышает  $T_g$  в 1.3 раза.

Полученные результаты вносят вклад в понимание процессов структурообразования, происходящих в стеклообразующих расплавах типа Al-ПМ-РЗМ в области эвтектики, а также в изучение влияния высокого давления на процессы их затвердевания. Более глубокое теоретическое исследование системы на основе машинного обучения для построения межатомного потенциала позволит учитывать в численном моделировании гораздо более длительные промежутки времени и непосредственно исследовать процессы затвердевания.

**Благодарности.** Авторы выражают признательность В. В. Бражкину за оказанное содействие в получении образцов в камере высокого давления типа «тороид».

**Финансирование.** Работа выполнена в рамках Проекта РНФ (№ 22-22-00674). Электронно-микроскопические исследования выполнены на оборудовании ЦКП «Центр физических и физико-химических методов анализа, исследования свойств и характеристик поверхности, наноструктур, материалов и изделий» УдмФИЦ УрО РАН, г. Ижевск. Образцы под высоким давлением получены в ИФВД РАН, г. Москва, г. Троицк. Численные расчеты выполнены с использованием вычислительных ресурсов федерального центра коллективного пользования «Комплекс моделирования и обработки данных для средств меганауки» НИЦ «Курчатовский институт» (<http://ckp.nrcki.ru/>), суперкомпьютеров Объединенного суперкомпьютерного центра РАН (ОАЦЦ РАН) и суперкомпьютера «Говорун» Многофункционального информационно-вычислительного комплекса ЛИИТ ОИЯИ (Дубна).

## ЛИТЕРАТУРА

1. С. Г. Рассолов, Е. А. Свиридова, В. В. Максимов и др., Металлофизика и новейшие технологии **37**, 1089 (2015).
2. A. L. Belyukov, S. G. Menshikova, and V. I. Ladyanov, J. Phys.: Cond. Matt. **35**, 314001 (2023).
3. S. G. Menshikova, A. A. Sushkov, and V. V. Brazhkin, Phys. Sol. St. **64**, 204 (2022).
4. N. M. Chtchelkatchev, M. V. Magnitskaya, V. A. Sidorov et al., Pure and Appl. Chem. **91**, 941 (2019).
5. Г. Е. Абросимова, А. С. Аронин, ФТТ **59**, 2227 (2017).
6. A. V. Tsvyashchenko, L. N. Fomicheva, A. A. Sorokin et al., Phys. Rev. B **65**, 174513 (2002).
7. V. I. Levitas, J. Phys.: Cond. Matt. **30**, 163001 (2018).
8. V. P. Filonenko, P. V. Zinin, I. P. Zibrov et al., Crystals **8**, 448 (2018).
9. Yu. A. Sokolovskaya, V. V. Sokolovskiy, M.A. Zagrebin et al., JETP **125**, 104 (2017).
10. A. M. Satanin, *Introduction to the Density Functional Theory*, Teaching aid., Nizhny Novgorod (2009), p. 64.
11. Ф. М. Гафаров, А. Ф. Галимянов, *Искусственные нейронные сети и приложения*, Изд-во Казан. ун-та, Казань (2018).
12. Е. О. Хазиева, Н. М. Щелкачев, А. О. Типеев, Р. Е. Рыльцев, ЖЭТФ **164**, 980 (2023).
13. А.Ю. Чурюмов, Cand. ... Dr. Tech. Sciences, Moscow (2008).
14. L. V. Kamaeva, E. N. Tsiok, and N. M. Chtchelkachev, J. Molec. Liquids **393**, 123659 (2024).
15. L. N. Kolotova, G. E. Norman, and V. V. Pisarev, J. Non-Crystalline Sol. 429 (2015).
16. S. G. Menshikova, N. M. Chtchelkatchev, and V. V. Brazhkin, Materialia **28**, 101713 (2023).
17. V. V. Brazhkin, Cand. ... Dr. phys.-mat. Sciences, Moscow (1996).
18. S. G. Menshikova and V. V. Brazhkin, Phys. Sol. St. **64**, 197 (2022).
19. P. M. Larsen, S. Schmidt, and J. Schiotz, Modelling and Simul. in Mater. Sci. Eng. **24**, 055007 (2016).
20. D. Turnbull, J. Appl. Phys. **21**, 1022 (1950).
21. T. Schenk, D. Holland-Moritz, V. Simonet et al., Phys. Rev. Lett. **89**, 075507 (2002).
22. T. V. Tropin, G. Schulz, J. W. Schmelzer et al., J. Non-Cryst. Solids **409**, 63 (2015).
23. X. Guo, M. Potuzak, J.C. Mauro et al., J. Non-Cryst. Solids **357**, 3230 (2011).
24. H. B. Ke, P. Wen, and W.H. Wang, AIP Adv. 2, 041404 (2012).
25. B. A. Rusanov, V. E. Sidorov, P. Svec et al., Inorganic Materials **56**, 14 (2020).
26. T. V. Tropin, J. W. P. Schmelzer, and V. L. Aksenov, Physics-Uspekhi 59 (2016).